

SINOPSE GEOQUÍMICA
MAPAS GEOQUÍMICOS DE INTERPOLAÇÃO DE ELEMENTOS EM SEDIMENTOS DE CORRENTE - Borda Oeste da Bacia do São Francisco

Os mapas geoquímicos de interpolação de elementos representam a paisagem geoquímica, ou seja, o conjunto de variações nos teores dos elementos químicos de uma determinada região, englobando *backgrounds* e anomalias. Do ponto de vista geoquímico, os mapas evidenciam os altos relevos com formação de *trends* que podem sugerir associações com mineralizações potenciais e com litologias específicas.

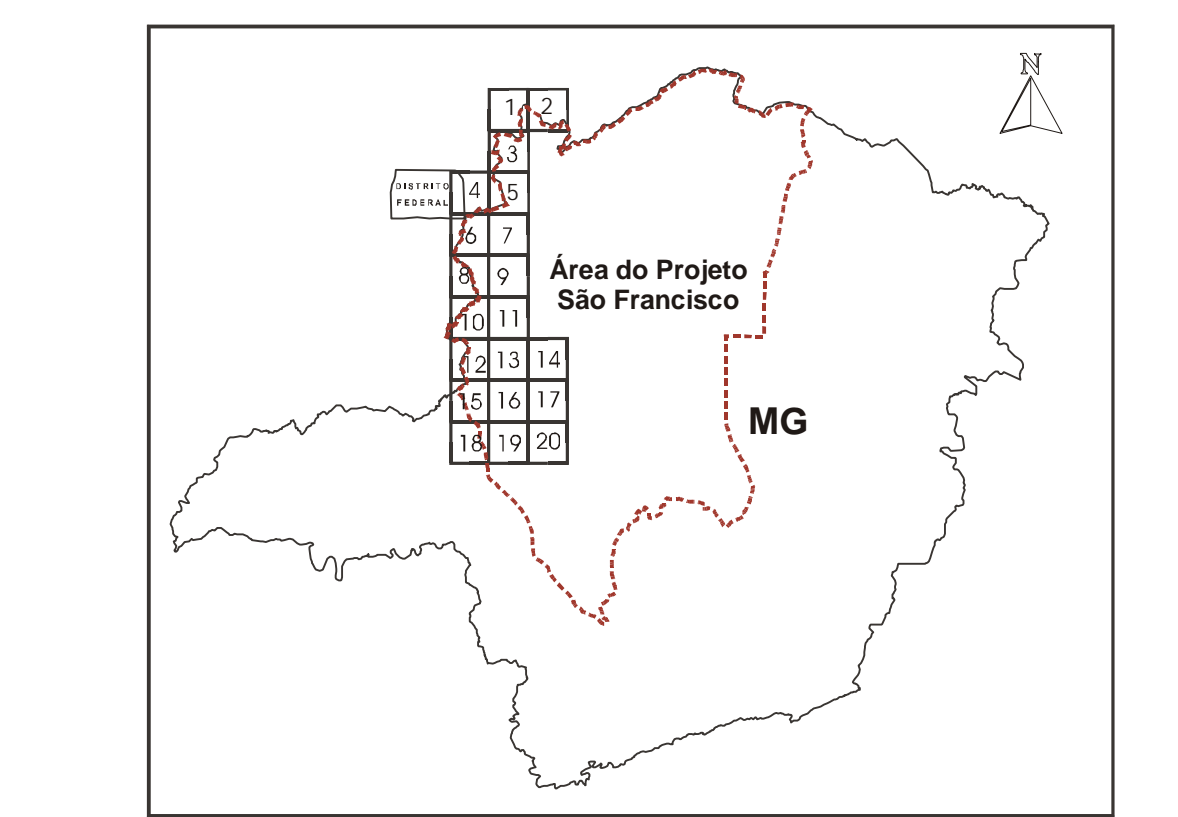
Os dados analíticos foram obtidos da Base de Dados Geoquímicos Unificada da CPRM (em ACCESS), que armazena todas as informações geoquímicas levantadas nos projetos executados pela Empresa. Para a área em estudo, na borda oeste da Bacia do São Francisco, foram integrados os dados de análises químicas das amostras de sedimentos de corrente dos seguintes levantamentos regionais:

- Projeto Geoquímica do Bambuí - Etapa I - Goiás (1977);
- Projeto Geoquímica do Bambuí - Etapa II - Minas Gerais (1980);
- Projeto Geoquímica do Bambuí - Etapa II - Minas Gerais (1980).

As informações da base de dados foram verificadas, integradas e processadas, visando à elaboração de mapas geoquímicos, configurando-se os relevos geoquímicos. A integração dos dados abrangeu vinte e duas folhas na escala 1:100.000, das quais vinte interessam ao Estado de Minas Gerais. As folhas Rio Paranaíba e Cruzalândia estão integralmente no Estado de Goiás e não foram editadas. A área processada totalizou 63.750km², sendo que, em algumas folhas, a cobertura geoquímica não foi total, conforme discriminado no quadro abaixo:

Nº	Nome da folha (1:100.000)	Código do Corte Internacional (CIM)	MI (Mapa Índice)	Percentual da cobertura geoquímica (%)
1	Lagoa Grande	SD.23-Y-A-VI	2128	100
2	Damianópolis	SD.23-Y-E-IV	2129	80
3	Serra Bonita	SD.23-Y-C-III	2173	100
4	Formosa	SD.23-Y-C-V	2216	100
5	Cabeceiras	SD.23-Y-C-VI	2217	100
6	Cachoeiro do Queimado	SE.23-V-A-II	2260	100
7	Unai	SE.23-V-A-III	2261	100
8	Ribeirão Arrojado	SE.23-V-A-V	2300	100
9	Serra da Aldéia	SE.23-V-A-VI	2301	100
10	Serra da Tiritica	SE.23-V-C-II	2340	100
11	Francisco	SE.23-V-C-III	2341	100
12	Guarda-Mor	SE.23-V-C-V	2378	75
13	Arrenqueado	SE.23-V-C-VI	2379	100
14	Jão Pinheiro	SE.23-V-D-IV	2380	100
15	Cromandell	SE.23-V-A-II	2416	50
16	Lagamar	SE.23-V-A-III	2417	100
17	Presidente Olegário	SE.23-V-B-I	2418	80
18	Monte Carmelo	SE.23-V-A-V	2453	50
19	Patos de Minas	SE.23-V-A-VI	2454	100
20	Carmo do Paranaíba	SE.23-V-B-IV	2455	98

LOCALIZAÇÃO DAS FOLHAS INTEGRADAS



Foram processadas conjuntamente 6.362 amostras de sedimentos de corrente. A amostragem foi do tipo composta, representando uma área de captação sempre inferior a 10km² por estação de amostragem. Para cada amostra, foi coletado cerca de 1 litro de material aluvionar.

Para as determinações analíticas os sedimentos foram separados, por peneiramento, em uma fração granulométrica menor que 40 mesh, sendo, posteriormente, pulverizados a menos 150 mesh. O método analítico utilizado para determinação do zinco, chumbo, cobre e manganês foi espectrometria de absorção atômica, após digestão por ácido nítrico concentrado a quente. Para determinação do fósforo, utilizou-se o método colorimétrico, após ataque por ácido nítrico diluído. O flúor foi determinado pelo método de eletrodo de íon específico, sendo a alíquota fundida com uma mistura de carbonato de sódio e nitrato de potássio.

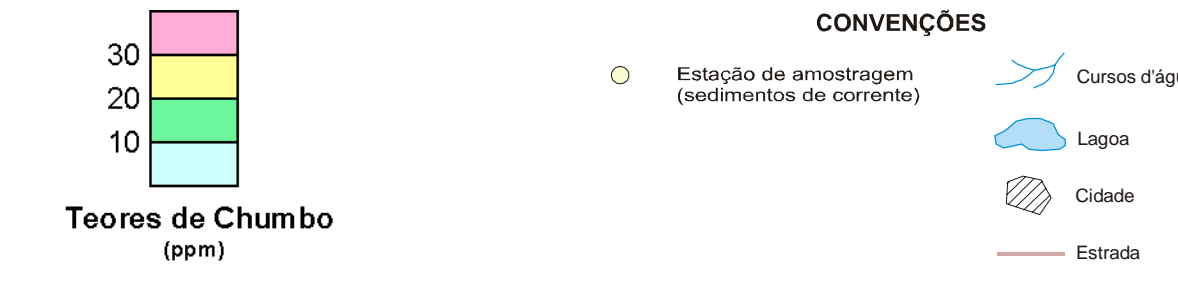
Estes mapas, elaborados pela primeira vez, apresentam uma nova configuração da distribuição dos elementos. Utilizou-se o método de *Krigagem*, que é uma técnica estatística desenvolvida especificamente para uma distribuição randômica de amostragem. Trata-se de um método de estimação que consiste em encontrar um estimador que seja a combinação linear de todas as informações disponíveis, com a mínima variância, considerando as características particulares do fenômeno medido enquanto variável regionalizada. Este método reflete uma boa resolução do padrão de distribuição das variáveis, configurando uma consistência e estabilidade aos mapas geoquímicos.

Os mapas exibem superfícies de isoléveis, discriminando-se nitidamente as zonas representativas das faixas mineralizadas das outras áreas com potenciais menos expressivos. A distribuição dos altos relevos de chumbo e zinco refletem as faixas mineralizadas de Vazante e Morro Agudo nos mapas geoquímicos de interpolação. Também, as mineralizações de fósforo (Mina de Rocinha e Mina de Lagoa dos Peixes, na Folha Lagamar) estão inseridas nos halos de alto relevo do elemento.

O colateamento dos mapas geoquímicos com outros mapas temáticos, como o geológico e imagens de *Landsat TMS*, permite uma boa correlação dos teores geoquímicos com os principais tipos de terrenos e seus padrões morfológicos. Por exemplo, os maiores valores de chumbo e zinco são correlacionáveis às faixas dolomíticas, enquanto que os menores estão condicionados às chapadas, onde hoje é intensa a atividade agrícola. Uma reamostragem e análise nessas áreas agrícolas poderia apresentar teores mais elevados desses elementos, em virtude do uso de pó calcário como corretivo dos solos ácidos, bem como pelo uso de agrotóxicos. Os teores intermediários situam-se sobre áreas de pedregal.

A paisagem geoquímica do flúor destaca-se por dois aspectos importantes: um de caráter prospectivo e o outro relativo ao meio ambiente. O primeiro apresenta uma superposição das ocorrências de fluorita com as zonas de maior relevo do flúor. O segundo aspecto diz respeito ao problema de fluorose, uma vez que os teores em sedimentos de corrente são tão elevados que, em certas áreas, certamente refletirão nas águas consumidas pela população. Sugere-se uma investigação mais detalhada, com análises de flúor nas águas, para avaliar tanto o excesso como a carência desse elemento, que pode causar danos à saúde humana.

Algumas estações de amostragem, ao serem plotadas, não apresentaram as respectivas drenagens, porque a densidade de drenagem nas bases cartográficas digitais é inferior à densidade de amostragem. Ou seja, a base de dados geoquímicos está mais detalhada do que as bases digitais cartográficas utilizadas, pois as amostras foram localizadas, no campo, com auxílio de aerofotos nas escalas 1:50.000 e 1:25.000, sendo posteriormente transportadas para as bases cartográficas disponíveis na época.



RELEVO GEOQUÍMICO DE CHUMBO

